

**การคำนวณอุณหภูมิผิวทรงกลมภายในท่อด้วยโครงข่ายความร้อน  
โดยการใช้ตัวควบคุมกระแส**

**Calculating Surface Temperature of Sphere in Pipe with Thermal Network  
By Using Current Controller**

ประเสริฐ อินประเสริฐ

ภาควิชาวิศวกรรมเครื่องกล คณะวิศวกรรมศาสตร์ มหาวิทยาลัยสยาม  
235 ถนนเพชรเกษม เขตภาษีเจริญ กรุงเทพฯ 10163  
โทร. 457-0068 ต่อ 121, โทรสาร 457-3982, อีเมล [Prasert.Inp@yahoo.com](mailto:Prasert.Inp@yahoo.com)

**บทคัดย่อ**

บทความนี้เป็นการคำนวณอุณหภูมิผิวทรงกลมซึ่งอยู่ภายในท่อโดยการนำตัวควบคุมกระแสที่ใช้ในโครงข่ายไฟฟ้ามาช่วยในการคำนวณการแผ่รังสีความร้อนร่วมกับการพาความร้อนที่เกิดขึ้นบนผิววัสดุ โดยการใช้โปรแกรมมัลติซิมคำนวณอุณหภูมิในโครงข่ายความร้อนแล้วเปรียบเทียบกับทฤษฎีการถ่ายเทความร้อนโดยใช้หลักสมดุลความร้อนของการแผ่รังสีความร้อนและการพาความร้อนที่ผิววัสดุ เพื่อหาค่าความผิดพลาดของอุณหภูมิที่ได้จากการคำนวณด้วยโปรแกรม ในการจำลองกำหนดให้ทรงกลมมีขนาดเส้นผ่าศูนย์กลาง 1 cm อยู่ภายในท่อที่มีพื้นผิวภายใน  $0.5 \text{ m}^2$  ขณะที่ของอากาศภายในท่อบริเวณอุณหภูมิ  $293.15 \text{ K}$  โดยผนังท่อบริเวณอุณหภูมิ  $572.15 \text{ K}$  กำหนดให้สภาพการแผ่รังสีความร้อนของผิวทรงกลม 0.30, สภาพการแผ่รังสีความร้อนผนังท่อ 0.80 และสัมประสิทธิ์การพาความร้อนอากาศ  $10 \text{ W/m}^2 \cdot ^\circ\text{C}$  เมื่อทำการเขียนโครงข่ายความร้อนแล้วคำนวณด้วยโปรแกรมมัลติซิม อุณหภูมิผิวทรงกลมที่คำนวณด้วยโปรแกรมมีความผิดพลาด 0.001% จากค่าความผิดพลาดแสดงให้เห็นว่าโครงข่ายความร้อนที่ใช้ตัวควบคุมกระแสสามารถใช้คำนวณการแผ่รังสีร่วมกับโครงข่ายความร้อนของการพาความร้อนได้ ซึ่งจะมีประโยชน์ในการแก้ปัญหาที่มีความซับซ้อนร่วมกับการแผ่รังสีความร้อนต่อไป

**คำหลัก:** ตัวควบคุมกระแส, การแผ่รังสีความร้อน, การพาความร้อน, โครงข่ายความร้อน

**Abstract**

This paper presents calculating surface temperature of sphere in pipe by using the current controller that use in electrical network to help for calculates about radiation heat transfer which combines with convection heat transfer at the surface of material. By using multiSIM<sup>TM</sup> software calculate temperature in thermal network and then compare with heat transfer theory which is calculated by heat equilibrium principle of radiation heat transfer and convection heat transfer on the surface of material in order to find an error of temperature which calculate by the software. In the simulation, let a sphere is 1 cm in diameter placed in a pipe which has inside surface area  $0.5 \text{ m}^2$ . While air in pipe have temperature

293.15 K, inside surface of the pipe has temperature 572.15 K. Let sphere emissivity is 0.30, pipe wall emissivity is 0.80 and convection heat transfer coefficient is  $10 \text{ W/m}^2 \cdot \text{C}$ . After write the thermal network and calculating by multiSIM<sup>TM</sup> software, sphere temperature has an error result 0.001%. From the error result show that this thermal network which using the current controller can be calculated thermal radiation combine with convection thermal network. It will be useful to solve a complicate heat transfer of radiation problem.

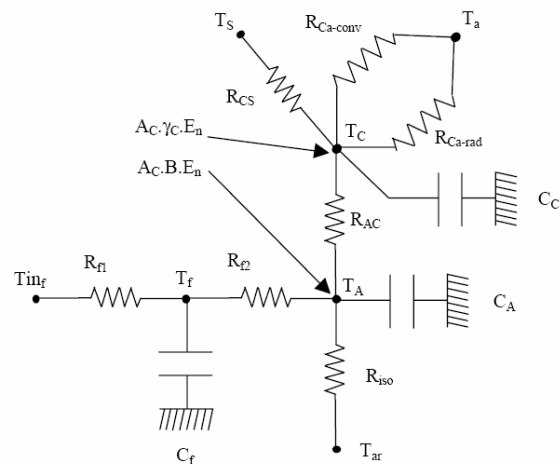
**Keywords:** current controller, radiation heat transfer, convection heat transfer, thermal network

## 1. บทนำ

การคำนวณอัตราการถ่ายเทความร้อนโดยการใช่โครงข่ายความร้อน(Thermal network) เป็นที่นิยมและเข้าใจได้โดยง่าย เหมาะสำหรับการแก้ปัญหาในเชิงระบบ(System solution) แต่สำหรับปัญหาใดที่มีการแผ่รังสีความร้อนมาเกี่ยวข้องค่าตัวต้านทานการแผ่รังสีจะคำนวณในรูปแบบเทียบเท่าการพาความร้อนซึ่งคำนวณมาจากสัมประสิทธิ์การแผ่รังสีถ่ายเทความร้อน (Radiation heat transfer coefficient)[4] ซึ่งอยู่กับอุณหภูมิพื้นผิวอย่างมากทำให้ไม่เป็นที่นิยมที่จะใช้โครงข่ายความร้อนในแก้ปัญหาเมื่อไม่ทราบอุณหภูมิพื้นผิว แต่ถ้ายังต้องการจะแก้ปัญหาโดยการใช่โครงข่ายความร้อนจะต้องสมมุติอุณหภูมิพื้นผิวขึ้นมาก่อนแล้วคำนวณค่าตัวต้านทานการแผ่รังสี เมื่อทำการแก้ปัญหาแล้วทำการตรวจสอบค่าอุณหภูมิพื้นผิวที่ได้ว่าใกล้เคียงกับค่าที่สมมุติไว้ในตอนแรกหรือไม่ ถ้าไม่ใกล้เคียงก็ต้องใช้ค่าใหม่ที่ได้อีกกลับไปคำนวณค่าความต้านทานการแผ่รังสีซ้ำอีกแล้วแทนค่าใหม่ลงในโครงข่ายความร้อน

จากรูปที่ 1 จะเห็นได้ว่าตัวต้านทานการพาความร้อน( $R_{Ca-conv}$ ) และตัวต้านทานการแผ่รังสี ( $R_{Ca-rad}$ ) นำมาต่อขนานกันระหว่างโนดอุณหภูมิแผ่รังสีแสงอาทิตย์ ( $T_c$ ) และ อุณหภูมิของบรรยากาศ ( $T_a$ ) ซึ่งเป็นอุณหภูมิของกำลังที่หนึ่ง

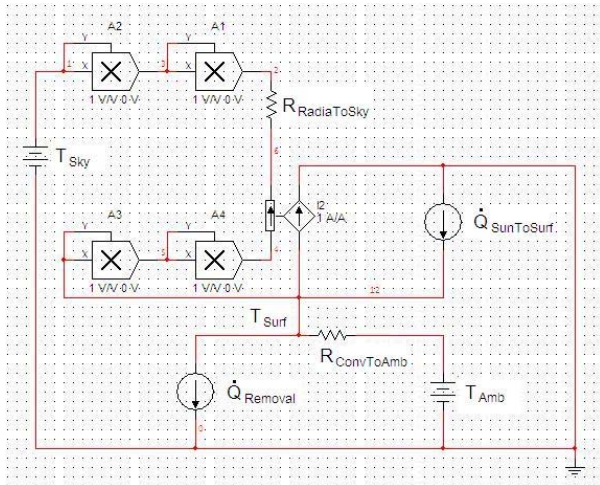
แต่อย่างไรก็ตามได้มีบทความนำเสนอตัวควบคุมกระแส(Current Controlled Current Source) ที่ใช้ในโครงข่ายไฟฟ้า (Electrical network) มาช่วยแก้ปัญหาในการคำนวณการแผ่รังสีความร้อนร่วมกับการพา



รูปที่ 1 โครงข่ายความร้อนสำหรับแผ่รังสีแสงอาทิตย์ในสถานะแปรเปลี่ยน [2]

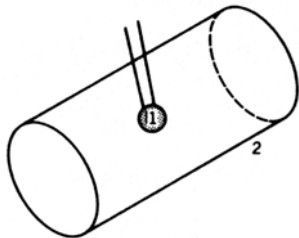
ความร้อนที่แผ่รังสีแสงอาทิตย์ในโครงข่ายความร้อน [1] ซึ่งการใช้ตัวควบคุมกระแสจะช่วยให้ไม่มีความจำเป็นที่จะต้องสมมุติอุณหภูมิพื้นผิวเพื่อหาค่าความต้านทานการแผ่รังสีในโครงข่ายความร้อนอีกต่อไป นั่นคือไม่ต้องใช้วิธีทดลองแทนค่าแล้วตรวจสอบค่าความผิดพลาด (No trial & error method) นั่นเอง

จากรูปที่ 2 จะเห็นได้ว่าได้มีการคุณสมบัติอุณหภูมิที่แผ่รังสีแสงอาทิตย์และอุณหภูมิห้องไฟฟ้าให้เป็นกำลังที่ 4 แล้วใช้ตัวต้านทานการแผ่รังสีสู่ท้องฟ้า ( $R_{RadiatoSky}$ ) สำหรับโนดผลต่างกำลังที่ 4 ซึ่งสามารถคำนวณหากระแสไฟฟ้าเทียบเท่าอัตราการถ่ายเทความร้อนได้ และใช้กระแสไฟฟ้านี้ผ่านตัวควบคุมกระแสไปดึงหรือป้อน [5] ให้กับให้กับโครงข่ายความร้อนที่มีโนดเป็นกำลังที่ 1 นั่นคือโครงข่ายการพาความร้อนนั่นเอง



รูปที่ 2 วงจรโครงข่ายความร้อนของแผ่รังสี  
แสงอาทิตย์ [1]

แต่อย่างไรก็ตามบทความนี้แนะนำให้เสนอเพิ่มเติมใน ส่วนของตัวควบคุมกระแสที่ใช้ในโครงข่ายความร้อน ให้สามารถคำนวณร่วมกับตัวประกอบมุมมอง (View factor) ของการแผ่รังสีได้ โดยการจำลองเพื่อทดสอบ ความถูกต้องนี้ กำหนดให้ทรงกลมที่จะคำนวณ อุณหภูมิอยู่ภายในท่ที่มีอากาศอยู่ภายใน โดย อุณหภูมิทรงกลมจะแปรเปลี่ยนตามอุณหภูมิอากาศ และอุณหภูมิของผนังท่ ดังรูปที่ 2



รูปที่ 3 วัตถุทรงกลมอยู่ภายในท่ที่มีความยาวมาก  
หรือท่ที่มีพื้นผิวปิดล้อมทั้งหมด [3]

## 2. การวิเคราะห์ด้วยหลักสมดุลพลังงาน

ในที่นี้จะกล่าวถึงการคำนวณการถ่ายเทความร้อน สำหรับวัตถุทรงกลมอยู่ภายในท่ ตามรูปที่ 3

### 2.1 การแผ่รังสีระหว่างผิววัตถุท่



รูปที่ 4 โครงข่ายการแผ่รังสีความร้อนระหว่างผิวหน้า  
วัสดุทั้งสอง [3]

เมื่ออุณหภูมิผิวหน้าวัสดุทั้งสองมีอุณหภูมิ แตกต่างกันจะเกิดการถ่ายเทความร้อนโดยการแผ่รังสี ดังสมการ[4]

$$\dot{Q}_{\text{Radia 2 Surf}} = \frac{\sigma(T_1^4 - T_2^4)}{[(1 - \epsilon_1) / \epsilon_1 A_1 + (1 / A_1 F_{1,2}) + (1 - \epsilon_2) / \epsilon_2 A_2]} \quad (1)$$

$$\dot{Q}_{\text{Radia 2 Surf}} = \frac{(T_1 - T_2)}{R_{RT}} \quad (2)$$

$$R_{RT} = \frac{[(1 - \epsilon_1) / \epsilon_1 A_1 + (1 / A_1 F_{1,2}) + (1 - \epsilon_2) / \epsilon_2 A_2]}{\sigma(T_1 + T_2)(T_1^2 + T_2^2)} \quad (3)$$

เมื่อ  $\dot{Q}_{\text{Radia 2 Surf}}$  - อัตราการแผ่รังสีผิวหน้าวัสดุทั้งสอง,  
W

$\epsilon_1, \epsilon_2$  - สภาพการแผ่รังสีผิววัสดุที่ 1 และวัสดุ  
ที่ 2 (Emissive), -

$F_{1,2}$  - ตัวประกอบมุมมองจากผิววัตถุชั้นที่ 1  
ไปผิววัตถุที่ 2, -

$\sigma$  - ค่าคงที่สเตฟาน-โบลต์ซมานน์  
(Stefan-Boltzmann Constant),  
 $5.66956 \times 10^{-8} \text{ W/m}^2 \cdot \text{K}^4$

$A_1, A_2$  - พื้นที่ผิววัสดุที่ 1 และวัสดุที่ 2,  $\text{m}^2$

$T_1, T_2$  - อุณหภูมิผิววัสดุที่ 1 และวัสดุที่ 2  
(Surface temperature), K

$R_{RT}$  - ตัวต้านทานการแผ่รังสีในเทอมผลต่าง  
อุณหภูมิกำลังที่หนึ่ง, K/W

### 2.2 การพาความร้อนระหว่างผิววัสดุกับอากาศ

เมื่ออุณหภูมิผิวหน้าวัสดุแตกต่างจากอุณหภูมิ อากาศโดยรอบจะเกิดการถ่ายเทความร้อน หากค่าได้  
ดังนี้[4]

$$\dot{Q}_{\text{SurfToAir}} = hA_{\text{Surf}}(T_{\text{Surf}} - T_{\text{Air}}) \quad (4)$$

$$= \frac{(T_{\text{Surf}} - T_{\text{Air}})}{\frac{1}{hA_{\text{Surf}}}}$$

$$R_{\text{ConvToAir}} = \frac{1}{hA_{\text{Surf}}} \quad (5)$$

เมื่อ  $\dot{Q}_{\text{SurfToAir}}$  - อัตราการพาความร้อนให้กับอากาศ, W

$h$  - สัมประสิทธิ์การพาความร้อน  
(Convection heat transfer  
coefficient),  $\text{W/m}^2 \cdot ^\circ\text{C}$

$A_{\text{Surf}}$  - พื้นที่ผิวการพาความร้อน,  $\text{m}^2$

$T_{Surf}$   $T_{Air}$  - อุณหภูมิผิววัตถุและอุณหภูมิอากาศ,  
°C

$R_{ConvToAir}$  - ตัวต้านทานการพาความร้อนสู่อากาศ,  
°C/W

### 2.3 หลักสมมูลย์พลังงานที่ผิวทรงกลม

ที่ผิวทรงกลมมีการถ่ายเทความร้อนโดยการพาความร้อนสู่อากาศและการแผ่รังสีให้กับผนังท่อเท่านั้น ซึ่งมีสมการดังนี้

$$\dot{Q}_{ConvSphereToAir} + \dot{Q}_{RadiaSphereToPipe} = 0 \quad (6)$$

เมื่อ  $\dot{Q}_{ConvSphereToAir}$  - อัตราการพาความร้อนจากผิวทรงกลมสู่อากาศ, W

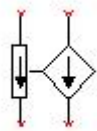
$\dot{Q}_{RadiaSphereToPipe}$  - อัตราการแผ่รังสีความร้อนจากผิวทรงกลมสู่ผิวท่อ, W

### 3. การวิเคราะห์ด้วยโครงข่ายความร้อน

การคำนวณโดยใช้โครงข่ายความร้อนจะต้องหาค่าตัวต้านทานการแผ่รังสีความร้อนเพื่อนำไปใส่ในโครงข่าย จากสมการที่ 3 แต่เมื่อไม่ทราบอุณหภูมิพื้นผิวจะต้องสมมุติอุณหภูมิพื้นผิวขึ้นมาก่อน อย่างไรก็ตามบทความนี้จะนำเสนอตัวควบคุมกระแสที่ใช้ในโครงข่ายไฟฟ้ามาช่วยแก้ปัญหาในการคำนวณการแผ่รังสีความร้อน ซึ่งตัวควบคุมกระแสในที่นี้จะใช้ในการควบคุมอัตราการถ่ายเทความร้อนออกจากผิววัตถุเทียบเท่ากับการแผ่รังสีความร้อนนั่นเอง

#### 3.1 ตัวควบคุมกระแส

สำหรับวงจรไฟฟ้าตัวควบคุมกระแสใช้สำหรับกระแสไฟฟ้าที่เกิดขึ้นในวงจรไฟฟ้าหนึ่ง จะกลายเป็นแหล่งจ่ายไฟให้กับอีกวงจรไฟฟ้าหนึ่ง[5] ใช้สัญลักษณ์ตามมาตรฐาน ANSI ดังรูปที่ 5



รูปที่ 5 สัญลักษณ์ Current Controlled Current Source

ในที่นี้อัตราการถ่ายเทความร้อนในโครงข่ายการแผ่รังสีจะไปตั้งอัตราการถ่ายเทความร้อนออกจากผิววัตถุในโครงข่ายการพาความร้อน

#### 3.2 ตัวต้านทานการแผ่รังสีความร้อนระหว่างผิววัตถุเทา

จากสมการที่ 1 สามารถจัดสมการการถ่ายเทความร้อนในรูปของการแผ่รังสีเทียบเท่าวัตถุดำที่ผิววัตถุทั้งสอง โดยเขียนอยู่ในเทอมของ  $E_b = \sigma T^4$  ได้ดังนี้ [3]

$$\dot{Q}_{Radia2Surf} = \frac{(E_{b1} - E_{b2})}{[(1 - \epsilon_1) / \epsilon_1 A_1 + (1 / A_1 F_{1,2}) + (1 - \epsilon_2) / \epsilon_2 A_2]} \quad (7)$$

$$\dot{Q}_{Radia2Surf} = \frac{(E_{b1} - E_{b2})}{R_{Eb}} \quad (8)$$

$$R_{Eb} = [(1 - \epsilon_1) / \epsilon_1 A_1 + (1 / A_1 F_{1,2}) + (1 - \epsilon_2) / \epsilon_2 A_2] \quad (9)$$

$$= R_{SC1} + R_{JJ2} + R_{SC2} \quad (10)$$

$$R_{SC1} = (1 - \epsilon_1) / \epsilon_1 A_1 \quad (11)$$

$$R_{JJ} = 1 / A_1 F_{1,2} = 1 / A_2 F_{2,1} \quad (12)$$

$$R_{SC2} = (1 - \epsilon_2) / \epsilon_2 A_2 \quad (13)$$

เมื่อ  $E_{b1}$ ,  $E_{b2}$  - กำลังแผ่รังสีต่อพื้นที่ผิว (Emissive power per surface area) หรือความเข้มกำลังงานแผ่รังสี (Radiation flux) ของวัตถุดำ, W/m<sup>2</sup>

$R_{Eb}$  - ความต้านทานการแผ่รังสีระหว่างผิววัตถุเทา, 1/m<sup>2</sup>

$R_{SC1}$ ,  $R_{SC2}$  - ความต้านทานการแผ่รังสีลักษณะผิว (Surface characteristic radiation resistance) อ้างอิงเป็นวัตถุเทาชั้นที่ 1 และชั้นที่ 2, 1/m<sup>2</sup>

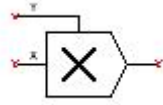
$R_{JJ}$  - ความต้านทานการแผ่รังสีความสัมพันธ์รูปร่าง (Geometry relative radiation resistance) ระหว่างวัตถุเทาหรือความต้านทานเรดิโอซิตี (Radiosity resistance) ระหว่างโนด  $J_1$  และ  $J_2$ , 1/m<sup>2</sup>

$F_{1,2}$  - ตัวประกอบมุมมองจากผิววัตถุชั้นที่ 1 ไปยังชั้นที่ 2, -

$F_{2,1}$  - ตัวประกอบมุมมองจากผิววัตถุชั้นที่ 2 ไปยังชั้นที่ 1, -

#### 3.3 ตัวคูณสัญญาณ

ในโครงข่ายไฟฟ้าที่มีบล็อกคูณสัญญาณ 2 สัญญาณเข้าด้วยกัน ใช้สัญลักษณ์ตามมาตรฐาน ANSI ดังรูปที่ 6



รูปที่ 6 สัญลักษณ์ Multiplier Block

สามารถนำมาดัดแปลงเป็นบล็อกที่ให้สัญญาณเป็นกำลังสี่ได้ โดยนำสัญญาณเดียวกันมาคูณกัน  $T \cdot T = T^2$  แล้วนำสัญญาณที่ได้มาคูณซ้ำกันอีกครั้งหนึ่ง จะได้  $T^2 \cdot T^2 = T^4$

#### 4. การคำนวณเปรียบเทียบ

ในการจำลองกำหนดให้ทรงกลมมีขนาดเส้นผ่าศูนย์กลาง ( $d$ ) 1 cm อยู่ภายในท่อที่มีพื้นผิวภายใน ( $A_{Pipe}$ )  $0.5 \text{ m}^2$  ขณะที่ของอากาศภายในท่อมีอุณหภูมิ ( $T_{Amb}$ ) 293.15 K โดยผนังท่อภายในมีอุณหภูมิ ( $T_{Pipe}$ ) 572.15 K กำหนดให้สภาพการแผ่รังสีความร้อนผิวทรงกลม ( $\mathcal{E}_{Sphere}$ ) 0.30, สภาพการแผ่รังสีความร้อนผนังท่อ ( $\mathcal{E}_{Pipe}$ ) 0.80 และสัมประสิทธิ์การพาความร้อนอากาศ ( $h$ )  $10 \text{ W/m}^2 \cdot ^\circ\text{C}$

#### 4.1 คำนวณโดยใช้หลักสมดุลพลังงาน

1. พื้นที่ผิวการถ่ายเทความร้อน

ผิวทรงกลม  $A_1 = 3.141592654(10^{-4}) \text{ m}^2$

ผิวท่อ  $A_2 = A_{Pipe} = 0.5 \text{ m}^2$

2. อัตราการแผ่รังสีความร้อนจากผิวทรงกลมสู่วิวท่อ จาก (1) เนื่องจากกำหนดให้ท่อยาวมาก การแผ่รังสีจากผิวทรงกลมสู่วิวท่อจะไปถึงทุกทิศทาง ดังนั้นตัวประกอบมุมมองการแผ่รังสีจากผิวทรงกลมกำหนดเป็นวัตถุชิ้นที่ 1 และผิวท่อกำหนดเป็นวัตถุชิ้นที่ 2 มีค่าเท่ากับ 1.0 นั่นคือ

$$F_{1,2} = 1.0 \text{ และอัตราการแผ่รังสีเป็นดังนี้}$$

$$\dot{Q}_{\text{RadiaSphereToPipe}} = 2.750767498(10^{-12})(T_{\text{Sphere}}^4 - 572.15^4) \text{ W}$$

3. อัตราการพาความร้อนให้กับอากาศ จาก (2)

$$\dot{Q}_{\text{ConvSphereToAir}} = 3.141592654(10^{-3})(T_{\text{Sphere}} - 293.15) \text{ W}$$

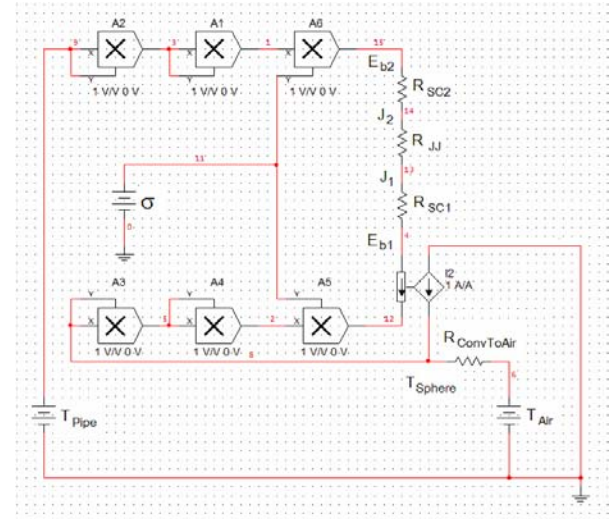
4. คำนวณอุณหภูมิผิวทรงกลม จาก (6)

$$3.141592654(10^{-3})(T_{\text{Sphere}} - 293.15) + 2.750767498(10^{-12})(T_{\text{Sphere}}^4 - 572.15^4) = 0$$

$$T_{\text{Sphere}} = 370.4842463 \text{ K}$$

#### 4.2 คำนวณด้วยวิธีโครงข่ายความร้อน

ในการคำนวณด้วยโครงข่ายความร้อน จะต้องทราบค่าความต้านทานความร้อนทุกตัวในโครงข่าย ในที่นี่จะใช้ (11), (12) และ (13) นำมาต่อกันเป็นโครงข่ายดังรูปที่ 7



รูปที่ 7 วงจรโครงข่ายความร้อนของวัตถุทรงกลมภายในท่อ

มีขั้นตอนในการคำนวณด้วย Electronic work sheet ดังนี้

1. ตัวต้านทานการพาความร้อนสู่อากาศ จาก (5)

$$R_{\text{ConvToAir}} = 318.3098862 \text{ } ^\circ\text{C/W}$$

2. ความต้านทานการแผ่รังสีลักษณะผิวของทรงกลม กำหนดให้เป็นชิ้นที่ 1 จาก (11)

$$R_{\text{SC1}} = 17427.23068 \text{ } 1/\text{m}^2$$

3. ความต้านทานการแผ่รังสีความสัมพัทธ์รูปร่างหรือความต้านทานเรดิโอซีทีระหว่างโนด  $J_1$  และ  $J_2$  จาก (12)

$$R_{\text{JJ}} = 3183.098862 \text{ } 1/\text{m}^2$$

4. ความต้านทานการแผ่รังสีลักษณะผิวของท่อ กำหนดให้เป็นชิ้นที่ 2 จาก (13)

$$R_{\text{SC2}} = 0.5 \text{ } 1/\text{m}^2$$

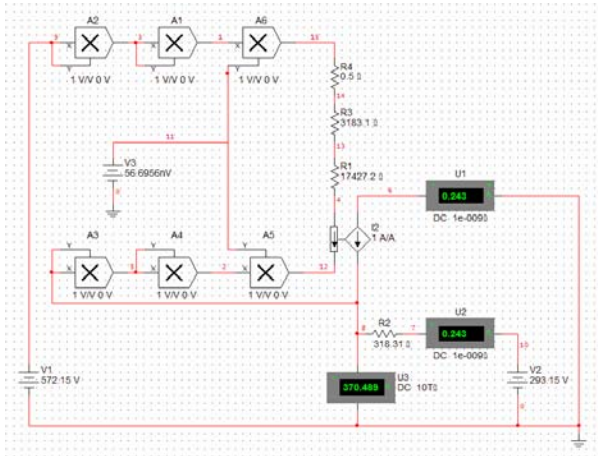
5. เขียนตัวต้านทานลงใน Electronic work sheet ในโปรแกรมมัลติซิม แต่อย่างไรก็ตามสามารถใช้โปรแกรมสำเร็จรูปวิเคราะห์วงจรไฟฟ้าอื่น ๆ ได้เช่นกัน

6. ให้โปรแกรมคำนวณอุณหภูมิผิวทรงกลม ดังรูปที่ 8 ซึ่งค่าความต่างศักย์ที่ได้คืออุณหภูมิและค่า



กระแสไฟฟ้าที่ได้คืออัตราการถ่ายเทความร้อนนั่นเอง  
 ซึ่งมีค่าเท่ากับ

$$T_{Sphere} = 370.489 \text{ K}$$



รูปที่ 8 วงจรไฟฟ้าในโปรแกรมจำลอง

### 5. วิเคราะห์ผล

จากการคำนวณด้วยหลักสมดุลย์พลังงานได้  
 อุณหภูมิผิวทรงกลม 370.4842463 K สำหรับการ  
 คำนวณโครงข่ายความร้อนได้อุณหภูมิผิวทรงกลม  
 370.489 K ดังนั้น

$$\%Error = \left( \frac{370.489 - 370.484246}{370.484246} \right) \times 100 = 0.001\%$$

จะเห็นได้ว่าการใช้ตัวควบคุมกระแสรวมใน  
 โครงข่ายความร้อนสามารถคำนวณให้ผลลัพธ์ที่  
 ใกล้เคียงค่าที่ได้จากผลการคำนวณอย่างมาก

### 6. สรุป

เมื่อกำหนดให้ทรงกลมมีขนาดเส้นผ่าศูนย์กลาง 1  
 cm อยู่ในท่อที่มีพื้นผิวภายใน 0.5 m<sup>2</sup> ขณะที่ของ  
 อากาศภายในท่อบีอุณหภูมิ 293.15 K โดยผนังท่อ  
 ภายในมีอุณหภูมิ 572.15 K กำหนดให้สภาพการแผ่  
 รั้งสีความร้อนผิวทรงกลม 0.30, สภาพการแผ่รังสี  
 ความร้อนผนังท่อ 0.80 และสัมประสิทธิ์การพาความ  
 ร้อนอากาศ 10 W/m<sup>2</sup>.°C แล้วคำนวณโดยโปรแกรมมี  
 ความผิดพลาดอุณหภูมิทรงกลม 0.001% จากค่า  
 ความผิดพลาดแสดงให้เห็นว่าโครงข่ายความร้อนที่ใช้  
 ตัวควบคุมกระแสสามารถใช้คำนวณการแผ่รังสี  
 ร่วมกับโครงข่ายความร้อนของการพาความร้อนได้ ซึ่ง  
 จะมีประโยชน์ในการแก้ปัญหาที่มีความซับซ้อน  
 สำหรับการแผ่รังสีความร้อนต่อไป

### 7. เอกสารอ้างอิง

- [1] ประเสริฐ อินประเสริฐ (2552). การใช้ตัวควบคุม  
 กระแสสำหรับคำนวณอุณหภูมิแผงรับแสงอาทิตย์,  
 การประชุมวิชาการเครือข่ายพลังงานแห่งประเทศไทย  
 ครั้งที่ 5, มหาวิทยาลัยนเรศวร จ.พิษณุโลก
- [2] Christophe PLANTIER, Gilles FRAISSE,  
 Gilbert ACHARD (2009). *Development and  
 Experimental Validation of a Detailed Flat-Plate  
 Solar Collector Model*, available online at  
[http://enr.cstb.fr/file/rub17\\_doc12\\_2.pdf](http://enr.cstb.fr/file/rub17_doc12_2.pdf)  
 (Accessed on Jan 2009)
- [3] Frank W. Schmidt, Robert E, Henderson, Carl  
 H. Wolgemuth (1993). The Pennsylvania State  
 University, *Introduction to Thermal Sciences*, 2<sup>nd</sup>  
 edition, John Wiley&Sons inc., Singapore, pp  
 380-383, 388
- [4] Jack P. Holman (2002). *Heat transfer*,  
 Southern Methodist University, U.S.A., 9<sup>th</sup> edition,  
 McGraw-Hill. Inc, New York, pp. 450,451.
- [5] John Keown (1998). *MicroSim™ PSpice®  
 and Circuit Analysis*, Southern Polytechnic State  
 University, U.S.A., 3<sup>rd</sup> edition, Prentice-Hall  
 International. Inc, New Jersey, pp. 367-381.